

ارزیابی اثرات تحریکی پروتیین Tax و ویروس HTLV-I بر مسیرهای سیگنالینگ وابسته به CREB و NFkB با استفاده از دو پلاسمید جدید ریپورتر مبتنی بر بیان آنزیم بتاگالاکتوزیداز

کیهان آزادمش ^{✱✱✱}M.D.، فرزین روحوند [✱]Ph.D.، صفیه امینی [✱]Ph.D.
آرش آرش کیا [✱]Ph.D.، میرداد کازانجی [✱]Ph.D.

[✱] انیستیتو پاستور ایران، بخش هیاتیت و ایدز

[✱] فرانسه، انیستیتو پاستور گویان، آزمایشگاه رتروویرولوزی

✳ آدرس مکاتبه: تهران، صندوق پستی: ۱۳۱۶۴، انیستیتو پاستور ایران، بخش هیاتیت و ایدز

پست الکترونیک: azadmanesh@pasteur.ac.ir

مکیده

دریافت مقاله: ۸۳/۱۱/۳، پذیرش مقاله: ۸۳/۱۲/۳

*** هدف:** ساخت دو پلاسمید ریپورتر برای بررسی اثرات پروتیین Tax و ویروس HTLV-I بر مسیرهای سیگنالینگ داخل سلولی که از دو پروتیین CREB و NFkB استفاده می کنند

*** مواد و روشها:** پس از انتقال ژن بتاگالاکتوزیداز با کتریابی و سیگنال پلی آدنیلایسیون ژن BGH به پلاسمید pUC18، نواحی پروموتری HTLV-I LTR و Human IL2 Receptor alpha با PCR تکثیر و به پلاسمید اخیر منتقل شدند. برای ارزیابی میزان تحریک این پروموترها، پس از ترانسفکشن سلولهای 293T با پلاسمیدهای ساخته شده و پلاسمید بیانی HTLV-I Tax، روشهای رنگ آمیزی با X-gal، الایزا و اندازه گیری فعالیت آنزیمی بتاگالاکتوزیداز در مصرف سوپسترای CPRG، آماده و مورد مقایسه قرار گرفت.

*** یافته‌ها:** نتایج نشان داد که پلاسمیدهای ساخته شده به خوبی به تحریک با Tax پاسخ داده و بتاگالاکتوزیداز تولیدی با هر سه روش قابل ارزیابی است. دو روش الایزا و فعالیت سنجی همبستگی بسیار بالایی ($r=0.949$) را نشان داد.

*** نتیجه گیری:** هر دو پلاسمید ساخته شده در این تحقیق قادر به افزایش بیان قابل توجه بتاگالاکتوزیداز پس از تحریک با HTLV I Tax هستند. مزایای روشهای مختلف ارزیابی بیان مورد مقایسه قرار گرفت.

کل واژگان: ویروس لمفوتروپیک سلولهای T، آنزیم بتاگالاکتوزیداز، ژنهای گزارشگر، پروتیین چسبنده به عنصر پاسخ به سیکلیک AMP، فاکتور هسته‌ای کاپا-ب

نشریه پزشکی یاکته، سال ششم، زمستان ۸۳، شماره ۲۴، صفحات ۲۲۵ - ۲۱۸

مقدمه

ایمنی‌زایی علیه آن نقشهای مختلفی دارند. گرچه اغلب واکنشهای ویروسی با استفاده از پروتیینهای ساختاری ویروس (نظیر Envelop یا Capsid) و به منظور تولید آنتی‌بادیهای محافظت کننده طراحی می شوند، ولی نحوه گسترش و انتقال HTLV-I که از طریق انتقال سلولهای آلوده و تماس سطحی سلولها با یکدیگر است نقش ایمنی هومورال را در کنترل آن کم‌رنگ نموده است. در مقابل نشان داده شده است که پاسخ ایمنی سلولی نقش مهمی در کنترل عفونت و جلوگیری از بیماری‌زایی آن در افراد ناقل دارد. همچنین دیده شده است که بیشترین پاسخ ایمنی علیه پروتیین Tax این ویروس است (۱۱). این پروتیین یکی از حفاظت شده ترین قسمت‌های ویروس در بین سویه‌های مختلف آن است (۱۲) که با کمک سیستم سیگنالینگ CREB(Cyclic AMP Response Element Binding Protein) و اثر بر LTR(Long Terminal Repeat) پروویروس، بیان سایر تولیدات ویروس را تنظیم می کند (۱۳). همچنین قادر به تحریک رونویسی از برخی ژنهای دیگر میزبان را که تحت کنترل مسیرهای signaling داخل سلولی (SRF: Serum Response Factor) و NFkB(Nuclear Factor kappa B) هستند می باشد. به نظر

سیگنالینگ داخل سلولی مجموعه پیچیده‌ای از میانجیهای مختلف را شامل می گردد که با مکانیسمهایی نظیر فسفریلاسیون، دفسفریلاسیون، تغییر در غلظت داخل سلولی یونهای مختلف، آزادسازی یا مهار آزادسازی برخی پروتیینها، تغییر در رونویسی یا بیان پروتیینهای مختلف و غیره (۱، ۲، ۳) پاسخهای سلول را نسبت به محرکهای مختلف کنترل می نمایند. بسیاری از سرطانها در نتیجه تغییر در سیستمهای سیگنالینگ داخل سلولی همراه با رشد بی‌رویه سلولها ایجاد می شوند (۴). بسیاری از ویروسها نیز برای وادار نمودن سلول به تولید فرآورده‌های ویروسی از مداخله در چنین سیستمهایی بهره می‌برند و گاه باعث ایجاد سرطانهای وابسته به ویروس نظیر لمفوم بورکیت(EBV)، سرطان دهانه رحم(HPV)، سرطان کبد(HBV, HCV) می شوند (۵، ۶، ۷، ۸). ویروس HTLV-I(Human T Lymphotropic Virus type I) یک رتروویروس شایع در استان خراسان، ژاپن، حوزه کاراییب و قسمت‌های دیگری از جهان است که عامل شناخته شده لوسمی / لمفوم سلولهای T بالغین و نوروپاتی وابسته به HTLV-I است (۹، ۱۰). این ویروس پروتیینهای مختلفی تولید می نماید که هر یک در پاتوژنز و

دو پرایمر که دارای سایت برای برش آنزیم *HindIII* بوده برای قسمتی از HTLV-I LTR، طراحی گردید که برای داشتن حداکثر توان شامل هر ۳ توالی پاسخ به Tax (Tax Response Element, TRE-I) و TATA Box بود (۵).

FLTR: ACTAAGCTTTTGAAGAATACACCAACATCCC

RLTR: ACTAAGCTTGAACGCGCTCAACCGGCGTGGAT

این قسمت به طول تقریبی ۴۸۰ جفت باز طی ۳۰ cycles (۹۴ درجه، ۵۵ درجه، ۷۲ درجه در یک ۴۵ ثانیه) از روی پلاسمیدی که در آن HTLV-1-LTR یکی از ناقلین ویروس کلون شده بود تکثیر شد. ب: پروموتور تحت تاثیر سیستم NFkB: ژن زنجیره آلفای گیرنده اینترلوکین ۲ (IL2-Ra) یکی از ژنهای انسانی است که رونویسی از آن در لمفوسیت‌های آلوده به HTLV-I و تحت تاثیر Tax افزایش می‌یابد (۲۰). پس از مشخص کردن ناحیه پروموتوری این ژن بر اساس سکانس موجود در بانک ژن (Accession number: M15864) و به ویژه عنصر تحت کنترل NFkB بر اساس داده‌های بانک اطلاعاتی Transfac، (<http://www.gene-regulation.com/pub/databases.html#transfac>) دو پرایمر به نحوی طراحی گردیدند که محصول PCR به طول ۴۲۰ جفت باز تولید گردد که شامل (IL2RF: IL2RR: ACTAAGCTTTGAGACCACTGCCAAGAAGT و ACTAAGCTTTCAGTTGCCGTCAGCCTCTTT) این قطعه ژنی از روی Genomic DNA انسان سالم که با استفاده از کیت Whole Blood DNA extraction (Roche, Germany) استخراج گردیده بود، با شرایط PCR مانند قبل تکثیر گردید.

ج: در مرحله بعد Poly Adenylation signal ژن BGH (Bovine Growth Hormone) با پرایمرهای دارای سایت برش *Eco RI* از روی پلاسمید pCDNA3.1/His/LacZ (Invitrogen) به طول ۲۹۵ جفت باز با پارامترهای قبلی و توسط دو پرایمر زیر تکثیر گردید.

POLARE: GATGAATTCCCGCATCCCAGC

POLAFE: AGCCGAATTCTGCAGATATCC

ساخت پلاسمیدها

ژن LacZ به طول تقریبی ۳۰۶۰ جفت باز از پلاسمید pCDNA3.1/His/LacZ (Invitrogen) با برش آنزیمهای *HindIII-Eco RI* (Roche) خارج و در وکتور pUC18 سباب کلون گردید. سپس قطعه LTR در سایت *HindIII* پلاسمید pUC-LacZ کلون شد. غربالگری کلونهای دارای جهت صحیح LTR ابتدا به وسیله PCR با پرایمر M13 Forward و RLTR طی ۲۰ سیکل بر روی کلونهای باکتری انجام و سپس پلاسمیدهای حاصل با هضم آنزیمی تایید شد در مرحله آخر قطعه BGH PolyA signal در سایت *Eco RI* پلاسمد کلون گردید. کلونها مانند مرحله قبل با PCR با پرایمرهای M13 reverse & FPOLA و سپس هضم

می‌آید که عامل سرطانی شدن سلولهای T در اثر HTLV-I تحریک همین مسیرها است (۱۴، ۱۵، ۱۶). لذا به نظر می‌رسد اگر بتوان اثر تحریکی Tax بر رونویسی را از بین برد و در عین حال ایمنی‌زایی آن را حفظ نمود و آن را به نحوی به بدن فرد آلوده ارایه نمود که سیستم ایمنی سلولی را تحریک نماید، این پروتیین کاندیدای مناسبی برای یک واکسن درمانی خواهد بود.

برای بررسی فعالیت پروتیین Tax احتیاج به یک سیستم رپورتر است که در آن یک ژن رپورتر در پایین دست پروموتورهای تحت کنترل Tax قرار گرفته باشند تا در صورت فعالیت Tax، بیان محصول این ژن به نحو قابل اندازه‌گیری تغییر یابد (۱۵، ۱۶، ۱۷). در مهمترین تحقیق در مورد اثر جهشهای مختلف بر فعالیت Tax که توسط Smith and Greene گزارش شده است از دو پلاسمید با پروموتورهای HTLV-I LTR و HIV-I LTR، که به ترتیب تحت کنترل CREB و NFkB هستند، در بالادست ژن کلرامفنیکل استیل ترانسفراز (CAT) استفاده شده بود (۱۵). گروههای دیگری نیز از رپورتر CAT به این منظور استفاده نموده‌اند (۱۶). در مقابل گروههای دیگری نیز از پلاسمیدهای رپورتر مبتنی بر LacZ برای مطالعات مشابه استفاده نموده‌اند (۱۷، ۱۸). از ژن لوسیفراز نیز برای این منظور استفاده شده است (۱۹). برای بررسی مسیر CREB اکثراً از LTR خود ویروس به عنوان پروموتور استفاده شده است در حالی که برای مسیر NFkB از پروموتورهای مختلفی نظیر HIV LTR، IL2، IL2 receptor استفاده شده است (۱۹-۱۵).

با توجه به در دسترس نبودن چنین پلاسمیدهایی برای پژوهشگران این پژوهش در ایران، هدف این تحقیق ساخت پلاسمیدهای رپورتر برای بررسی میزان فعالیت موتاتهای ژن tax به منظور ساختن موتانت مناسب برای استفاده در یک DNA vaccine ضد HTLV I بوده است. به این منظور احتیاج به انتخاب پروموتورهای مناسب برای دو مسیر سیگنالینگ CREB و NFkB، و استفاده از یک ژن رپورتر بود. نتایج به دست آمده نشان از موفقیت در ساختن این دو پلاسمید و قابلیت ارزیابی نتایج به سه روش متفاوت کمی و کیفی بیان ژن رپورتر دارد.

مواد و روشها

تکثیر قطعات ژنی مورد نیاز

الف: پروموتور تحت کنترل سیستم CREB/ATF: ناحیه LTR-5' پروویروس HTLV-I دربرگیرنده پروموتور این ویروس است. در این ناحیه ۳ عنصر ژنی که ساختاری بسیار شبیه CRE (Cyclic AMP Response Elements) دارند شناسایی شده‌اند. بررسیهای بسیار نشان داده است که این ۳ قسمت مسئول بیشترین رونویسی از پروویروس HTLV-I تحت کنترل Tax هستند و از این رو آنها را TRE-I (Tax Response Elements) می‌نامند. بین TRE-I پروویروس و سانتال، عنصر قابل کنترل توسط Tax دیگری وجود دارد که در حالت طبیعی اثر قابل توجهی در تولید RNA ویروسی ندارد (TRE-II) (۱۳).

6 well plate (Corning) به سلولهای ۲۹۳T انتقال یافتند. به منظور کنترل آزمایشات، سلولها با پلاسمید pCDNA3.1/His/LacZ و pCDNA-tax به تنهایی نیز (به عنوان کنترل مثبت و یک کنترل منفی) ترانسفکت شدند.

اندازه‌گیری میزان پروتیین

به منظور نرمالیزه کردن نتایج مربوط به اندازه گیریهای کمی بتاگالاکتوزیداز بر اساس میزان سلولهای موجود در هر نمونه، میزان پروتیین کل هر نمونه با روش Bradford (۲۲) و با مقایسه با منحنی استاندارد رسم شده بر اساس میزانهای مختلف BSA اندازه‌گیری گردید.

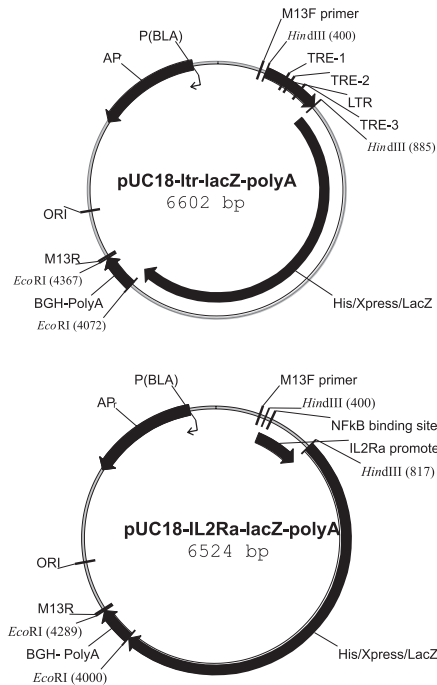
ارزیابی بیان beta galactosidase

(الف) بررسی کیفی: توسط یک کیت تهیه شده با اقتباس از beta gal staining Kit (Invitrogen) شامل فروسیانید پتاسیم (Fluka) 400mM، فریسیانید پتاسیم (Fluka) 400mM، منیزیم (Mreck) 200mM و Xgal 20mg/ml (Fermentas)، به طور خلاصه مطابق روش زیر انجام گردید: ۴۸ ساعت پس از ترانسفکشن، سلولها با گلو تار آلدئید ۵ درصد، به مدت ۱۰ دقیقه تثبیت شده، با ترکیب فروسیانید پتاسیم، فریسیانید پتاسیم، منیزیم کلراید (۱۰ میکرولیتر از هر یک) و ۲۵ میکرولیتر X-Gal به ازای هر خانه یک پلیت ۶ خانه کشت سلول، رنگ آمیزی شده و پس از ۲ ساعت انکوبه کردن در ۳۷ درجه سانتی گراد، زیر میکروسکوپ اینورت (Zeiss) بررسی شد و به وسیله دوربین دیجیتال SONY DSC-P72 از طریق عدسی چشمی میکروسکوپ عکسبرداری گردید.

(ب) بررسی کمی با روش الیزا: با استفاده از کیت beta-Gal ELISA (Roche) و مطابق دستورالعمل ارائه شده توسط سازنده، ابتدا عصاره پروتیینی هر یک از نمونه‌های مورد بررسی با اضافه کردن ۶۰۰ میکرولیتر 1x lysis buffer تهیه گردید، پس از سانتریفوژ به منظور جداسازی باقی مانده‌های سلولی، مایع رویی به یک میکروتیوب جدید انتقال یافته و در ۷۰-درجه سانتی گراد تا زمان آزمایش ذخیره گردید. از هر نمونه غلظتهای ۱، ۰/۱، ۰/۰۱ در تست الیزا مورد بررسی قرار گرفت. با توجه به میزان بالای بیان در مطالعات مربوط به پلاسمید pUC-LTR-LacZ-PolyA، رقت ۰/۰۰۱ این نمونه‌ها نیز مورد بررسی قرار گرفت. برای رسم نمودار استاندارد نیز غلظتهای ارائه شده در کیت به صورت دوتایی بررسی شدند.

(ج) ارزیابی کمی به روش ارزیابی فعالیت بتاگالاکتوزیداز: به منظور افزایش حساسیت تست و نیز قابل انجام شدن در microtiter plate و استفاده از Microtiter plate reader، تغییر در پروتکل ارائه شده توسط Sambrook and Russel (۲۳) پروتکل تازه‌ای به شرح زیر تهیه گردد: ۲۴۵ میکرولیتر Sodium Phosphate buffer، ۳ میکرولیتر 2ME-MgCl₂ و 100x buffer و 20ul CPRG (4mg/ml; Roche) به ازای هر

آنزیمی پلاسمیدها غربال شده و در نهایت پلاسمید کامل pUC-LTR-LacZ-PolyA در سلولهای Ecoli Top10 تکثیر گردید (شکل ۱).



شکل ۱: نقشه نهایی پلاسمیدهای رپورتر با پروموتورهای HTLV-I LTR و IL2Ra. محل برشهای آنزیمی مورد استفاده، قسمتهای مهم اشاره شده در متن مقاله و پرایمرهای M13Forward and Reverse نیز مشخص گردیده‌اند.

در مرحله بعد پروموتور HTLV-I با پروموتور IL2Ra تعویض گردید تا pUC-IL2Ra-LacZ-PolyA به دست آید (شکل ۱). پس از کامل شدن هردو پلاسمید ناحیه پروموتوری آنها با استفاده از پرایمریونورسال M13forward و سکانس گردید و صحت این ناحیه و ابتدای ژن بتا گالاکتوزیداز تایید شد.

پلاسمید بیانی tax (pCDNA-tax) نیز با کلون نمودن tax cDNA و ویروس HTLV-I در سایت‌های HindIII-EcoRI پلاسمید pCDNA3.1/HisLacZ ساخته شد و با سکانسینگ تایید گردید.

سلولها

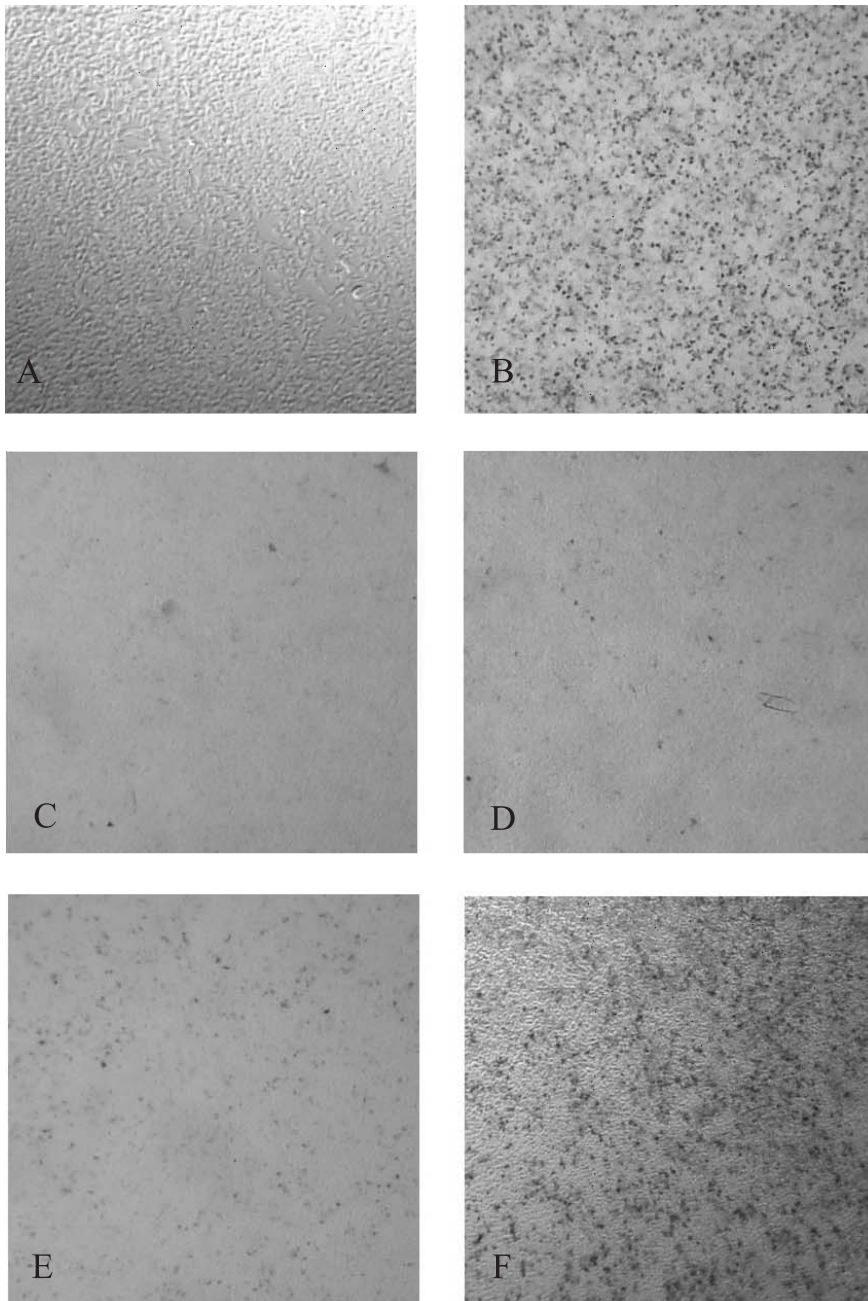
سلولهای رده ۲۹۳T (۲۱) در محیط RPMI1640 (Gibco) حاوی ۱۰ درصد FBS و NaHCo34mM در ۳۷ درجه سانتی گراد و ۵ درصد CO₂ کشت داده شد.

ترانسفکشن

پلاسمیدهای رپورتر تولید شده به تنهایی و همراه با پلاسمید بیانی Tax با استفاده از کیت Polyfect شرکت Qiagen در

نمونه هر نمونه در فواصل ۱۵ دقیقه‌ای و تقسیم آن بر ۱۵، به یک واحد اختیاری Mean OD change/minute تبدیل گردیدند. به منظور استاندارد کردن این نتایج بر اساس میزان سلول موجود در هر نمونه، با ضرب شدن در نسبت پروتئین موجود در نمونه بر پروتئین موجود در نمونه کنترل منفی (ترانسفکت نشده) نتایج نهایی به دست آمد.

نمونه در میکروپلیت ۹۶ خانه مخلوط گردیده سپس ۳۰ میکرولیتر از نمونه تهیه شده با روش بالا و با رقت مورد نظر (بین ۱ تا ۰/۰۰۱) به آن اضافه گردید. پلیتها در ۳۷ درجه سانتی گراد انکوبه گردیدند و در زمانهای ۱۰، ۲۵ و ۴۰ دقیقه توسط میکروپلیت ری‌در MR700 (Dynatech, USA) در طول موج ۵۵۰ نانومتر مورد ارزیابی قرار گرفتند. نتایج حاصل با محاسبه میانگین تفاوت جذبهای

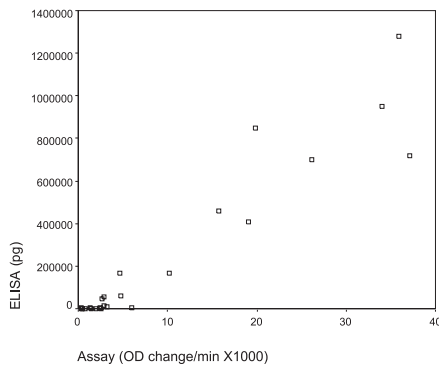


شکل ۲: سلولهای T29۳ پس از ترانسفکشن با پلاسمیدهای مختلف و رنگ‌آمیزی با X-gal پس از ۲ ساعت (۴۰X). a: بدون ترانسفکشن، b: با c.pCDNA/HisLacZ: ریپورتر NFkB به تنهایی، d: ریپورتر NFkB و pCDNA-tax، e: ریپورتر CREB به تنهایی، f: ریپورتر CREB و pCDNA-tax

تصویر رنگی در انتهای مقالات

جدول ۱: نتایج مطلق و نسبی تستهای اییزا و فعالیت سنجی بتاگالاکتوزیداز در نمونه‌های ترانسفکت شده با پلاسمیدهای مختلف پس از دو روز از ترانسفکشن

پلاسمید	فعالیت (تغییر OD در دقیقه)	فعالیت نسبی	اییزا (pg)	اییزا (نسبی)
PCDNA/tax+LTR	۲/۹۶	۹/۲۵	۵۴۰۰۰	۱۰/۳۸
LTR	۰/۳۲	۱	۵۲۰۰	۱
PCDNA/tax+IL2Ra	۰/۸۱	۳/۶۸	۵۶۰	۳/۱۴
IL2Ra	۰/۲۲	۱	۱۷۶۰	۱



شکل ۳: نمودار پراکنندگی بین نتایج اییزا و فعالیت سنجی بتا گالاکتوزیداز

بحث

از بین ژنهای پروتیینهای مختلفی که برای ساخت سیستمهای رپورتر به کار می‌روند (نظیر *LacZ*, *Luc*, *GUS*, *GFP*, *CAT*) (۱۵-۲۴) به دلیل مزیت‌های سیستم *LacZ*، شامل امکان ارزیابی آن هم به صورت کیفی، هم کمی، امکان استفاده آن در سیستمهای زنده و عدم نیاز به دستگاههای گران قیمت برای ارزیابی، این سیستم انتخاب گشت. ژن *LacZ* آنزیم بتاگالاکتوزیداز باکتریایی را کد می‌کند که تولید آن روشهای مختلف مانند رنگ آمیزی، رنگ سنجی، فلورومتری و ELISA قابل ارزیابی است (۲۴).

از بین سه روش ارزیابی بتاگالاکتوزیداز که در این گزارش مورد بررسی قرار گرفتند، روش رنگ آمیزی به عنوان یک روش اولیه و کیفی مورد استفاده قرار گرفت. این روش از مزیت‌های سادگی، سرعت (معمولاً حدود ۲ ساعت) و ارزانی مواد اولیه برخوردار است. در مقابل این روش حساسیت کمتری در مقادیر پایین ترانسفکشن و یا کمی بیان داخل هر سلول دارد. در رنگ آمیزیهای ما پلاسمید بیانی Tax به تنهایی هیچ تغییر رنگی در سلولهای T ۲۹۳ ایجاد نکرد. اما تعداد کمی از این رده سلولی در حضور پلاسمید رپورتر CREB به تنهایی به رنگ آبی درآمدند که نشان‌دهنده بیان زمینه‌ای *beta gal* است. با وجود این که یکی از ضعفهای *beta gal* وجود مقدار ناچیزی از این آنزیم در سلولهای یوکاریوتیک است اما در این رده سلولی هیچ تغییر رنگی در سلولهای ترانسفکت نشده مشاهده نشد. با این حال در *co transfection* پلاسمیدهای بیانی Tax و پلاسمید رپورتر *pUC-LTR-LacZ-PolyA* افزایش بسیار قابل توجهی هم در شدت

آنالیز آماری

نتایج رنگ آمیزی و ارزیابی کیفی به صورت «درصد سلولهای رنگ شده در شمارش ۲۰۰ سلول در بزرگنمایی ۲۰۰» ارائه می‌گردند. مقایسه نتایج دو روش کمی با یکدیگر با بررسی ضریب همبستگی و نمودار پراکندگی و با استفاده از نرم افزار SPSS انجام پذیرفت. نتایج ۴ سری آزمایش مستقل در آنالیز اخیر مورد استفاده قرار گرفت.

یافته‌ها

ارزیابی کیفی اثر پلاسمید بیانی Tax بر بیان آنزیم بتاگالاکتوزیداز تحت کنترل سیستمهای سیگنالینگ CREB و NFkB

با وجود بیان زمینه‌ای نسبتاً بالای آنزیم بتاگالاکتوزیداز تحت کنترل پروموتور HTLV-I، تفاوت تعداد و شدت رنگ سلولهای بیان کننده در ترانسفکشن همزمان این پلاسمید رپورتر و پلاسمید بیانی Tax کاملاً مشهود بود. به علت زمان نسبتاً طولانی مورد نیاز برای اطمینان از بیان هر دو پروتیین Tax و بتاگالاکتوزیداز (دو روز)، سلولها تقریباً تمام سطح پلئیت را می‌پوشانند که این امر تخمین دقیق درصد سلولهای بیان کننده را دچار اشکال می‌سازد. با این وجود شمارش ۲۰۰ سلول در بزرگنمایی ۲۰۰، درصد سلولهای بیان کننده در نمونه حاوی *pCDNA-tax* و *pUC-LTR-LacZ-PolyA* را در حدود ۲۰ درصد نشان می‌دهد در صورتی که این نسبت در نمونه‌های حاوی پلاسمید رپورتر به تنهایی ۸ درصد را نشان می‌داد. سلولهایی که فقط با *pCDNA-tax* ترانسفکت شده بودند هیچ تغییر رنگی را نشان نمی‌دادند. تفاوت بین این سری نمونه‌ها حتی با چشم غیر مسلح نیز آشکار بود (شکل ۲ قسمتهای e و f).

میزان سلولهای تغییر رنگ یافته در نمونه‌های حاوی *pUC-IL2Ra-LacZ-PolyA* با یا بدون *pCDNA-tax* بسیار کمتر از میزانهای مشاهده شده در مورد پروموتور HTLV-I بودند. در بررسی میکروسکوپی نمونه‌ها این نسبتها به طور متوسط در حدود ۵ و ۲ درصد در نمونه‌های حاوی Tax و فاقد آن بودند (شکل ۲، قسمتهای b و c).

ارزیابیهای کمی

مقادیر مختلف به دست آمده برای هر نمونه در تستهای اییزا و فعالیت سنجی (پس از تصحیح بر اساس میزان پروتیین کل هر نمونه) در جدول ۱ آمده است.

این نتایج نشان دهنده افزایشی حدود ۱۰ برابر در بیان بتا گالاکتوزیداز تحت کنترل پروموتور HTLV-I و ۳/۵ برابر در پروموتور IL2Ra در اثر Tax است. نتایج اییزا و فعالیت سنجی در جدول ۱ آمده است. شکل ۳ نیز نشان دهنده میزان همبستگی نتایج حاصل از این دو روش می‌باشد. ضریب همبستگی این دو روش مقدار $P=۰/۰۰۰$ (۲=۰/۹۴۹) به دست آمد.

تغییر رنگ و هم در تعداد سلولهای آبی نشان داد (شکل ۲). با وجود بیان بسیار کمتر پلاسمید pUC-IL2Ra-LacZ-PolyA، تفاوت بیان آنزیم بتاگالاکتوزیداز در حضور و عدم حضور پلاسمید حاوی Tax در این نمونه‌ها نیز قابل تمایز است. به علت عدم امکان تمایز دقیق چشمی بین میزان بیان بتاگالاکتوزیداز در سلولهای مختلف، در این روش تنها تعداد سلولهای رنگ شده قابل مقایسه است و میزان کل بیان قابل اندازه‌گیری نیست. برای بهبود کنتراست رنگ آمیزی در این روش اضافه کردن مواد رنگی دیگری چون سافرانین، که باعث سرخ شدن پس زمینه می‌گردد، نیز پیشنهاد شده است (۲۷).

روش فعالیت سنجی که توسط Sambrook & Russel (۲۳) ارائه گردیده مبتنی بر توقف فعالیت رنگ زا و سپس مقایسه تغییر رنگ نهایی نمونه است. در این روش زمان توقف واکنش اهمیت زیادی می‌یابد، چرا که سرعت تغییر رنگ در نمونه‌های دارای بتاگالاکتوزیداز بیشتر، بیشتر است. به علاوه حجم کل واکنش در پروتکل Sambrook & Russel حدود یک میلی‌لیتر است که امکان استفاده از میکروپلیت برای افزایش سرعت و بهره‌وری را منتفی می‌سازد. کم کردن حجم اجزا واکنش نیز منجر به افزایش خطای پیتینگ در این روش خواهد شد. در مقابل روشی که ما مورد استفاده قرار داده‌ایم مبتنی بر اندازه‌گیری سرعت مصرف سوستر است (۲۸). به طور خلاصه، V_{max} آنزیم در نمونه‌های مختلف در شرایط یکسان تابعی از میزان آنزیم موجود در هر نمونه است. با توجه به در دسترس نبودن دستگاهی که بتواند کینتیک تغییر رنگ (مصرف سوستر) را در دمای ثابت (۳۷ درجه سانتی‌گراد) در فواصل زمانی کوتاه بررسی نماید، ما با افزایش بسیار زیاد میزان سوستر در واقع آنزیم را اشباع نمودیم تا رابطه زمان-مصرف سوستر خطی گردد. به این ترتیب اندازه‌گیری میزان تغییر رنگ در فواصل زمانی طولانی‌تر ثابت و برابر V_{max} باقی می‌ماند و در این مدت امکان آنکوبه کردن پلیتها در ۳۷ درجه سانتی‌گراد نیز فراهم می‌آید. در صورت موجود بودن میکروپلیت ریدری که بتواند همزمان با آنکوبه کردن پلیت در ۳۷ درجه سانتی‌گراد، در فواصل کوتاه زمانی (مانند ۱ دقیقه) شدت رنگ را اندازه‌گیری نماید می‌توان میزان سوستر استفاده شده در پروتکل ارائه شده در این گزارش را دهها برابر کاهش داد و تنها با اندازه‌گیری V_{max} و در زمان کوتاهی نمونه‌ها را مقایسه کرد (۲۹).

روش الیزا به خاطر اختصاصی بودن برای بتاگالاکتوزیداز با منشا پروکاریوتی (مانند محصول پلاسمیدهای معرفی شده در این گزارش)، قادر به شناسایی مقادیر ناچیزی از بتاگالاکتوزیداز تولیدی در سلولهای یوکاریوتی نیست و در نتیجه ویژگی بالاتری دارد. در حالی که آنزیمهای با منشا یوکاریوتی و پروکاریوتی هر دو قادر به کاتالیز واکنشهای رنگ‌زا هستند و تستهای ارزیابی فعالیت قادر به تمایز این دو روش نیستند. با این وجود با توجه به همبستگی بسیار بالای نتایج این دو روش در این تحقیق، سایر پارامترها در ترجیح دادن یکی از این دو روش اهمیت بیشتری می‌یابد. قیمت کیت‌های الیزا که برای تعداد محدودی تست (در تجربه ما ۱۹۲ تست) قابل استفاده است، بسیار گران‌تر از تهیه

روش الیزا به خاطر اختصاصی بودن برای بتاگالاکتوزیداز با منشا پروکاریوتی (مانند محصول پلاسمیدهای معرفی شده در این گزارش)، قادر به شناسایی مقادیر ناچیزی از بتاگالاکتوزیداز تولیدی در سلولهای یوکاریوتی نیست و در نتیجه ویژگی بالاتری دارد. در حالی که آنزیمهای با منشا یوکاریوتی و پروکاریوتی هر دو قادر به کاتالیز واکنشهای رنگ‌زا هستند و تستهای ارزیابی فعالیت قادر به تمایز این دو روش نیستند. با این وجود با توجه به همبستگی بسیار بالای نتایج این دو روش در این تحقیق، سایر پارامترها در ترجیح دادن یکی از این دو روش اهمیت بیشتری می‌یابد. قیمت کیت‌های الیزا که برای تعداد محدودی تست (در تجربه ما ۱۹۲ تست) قابل استفاده است، بسیار گران‌تر از تهیه

گرچه وجود بیان زمینه‌ای پروتیین ریپورتر یک نقطه ضعف برای چنین سیستمهایی به شمار می‌رود (۳۰)، تفاوت قابل ملاحظه بیان در حضور و غیاب ژن tax، هر دو سیستم ساخته شده را کاملاً قابل قبول می‌سازد. به نظر می‌رسد وجود هر سه TRE در پلاسمید ریپورتر pUC-LTR-LacZ-PolyA باعث بالا رفتن رونویسی از LacZ توسط پروتیینهای CREB سلولی شده باشد، لذا در صورت نیاز به کنترل دقیق‌تر بیان ژن LacZ احتمالاً می‌توان یکی از TREها را حذف نمود (۱۳). بیان زمینه‌ای در pUC-IL2Ra-LacZ-PolyA نیز دیده می‌شود که با توجه به منشا انسانی داشتن این پروموتور غیر قابل اجتناب به نظر می‌رسد.

نتایج مربوط به دو پروموتور غیر مرتبط استفاده شده در این پژوهش شاهدهی است بر این که با جایگزینی پروموتورهای دیگری در جایگاههای HindIII از پلاسمیدهای معرفی شده می‌توان به آسانی ریپورترهایی برای سایر عناصر Trans-acting داخل سلولی ساخت. مزیت دیگر پلاسمیدهای ساخته شده در این پژوهش وجود اپتوبهای xHis ۶ و Xpress در انتهای آمینو بتاگالاکتوزیداز تولید شده است. برای مثال می‌توان به جای استفاده از کیت‌های الیزا گران قیمت موجود در بازار، با استفاده از هر زوج از آنتی‌بادیهای

نمود (۳۳).

به طور خلاصه، در این مقاله مراحل طراحی، ساخت و روشهای ارزیابی فعالیت پلاسمیدهای رپورتر مبتنی بر ژن بتا گالاکتوزیداز و مثالهای کاربردی آن در بررسی فعالیت یک پروتیین ترانس اکتیوتور و بررسی ارائه شده است. روشها و پلاسمیدهای ارائه شده در این گزارش ابزارهای مناسبی برای مطالعات بیولوژی مولکولی به ویژه در باره سرطانها و ویروسها در اختیار پژوهشگران قرار می دهد.

تقدیر و تشکر

نویسندگان این مقاله لازم می دانند از آقای دکتر محمدعلی شکرگزار و دکتر امیر امانزاده در بانک سلولی ایران به خاطر در اختیار قرار دادن رده سلولی و محیطهای کشت مورد استفاده در این پژوهش، همچنین از خانم دکتر لادن تیموری به خاطر همکاری در ساخت یکی از پلاسمیدهای رپورتر و کمک در ویرایش مقاله سپاسگزاری کنند. از آقای سعید عندیبی نیز که ما را در تهیه و تنظیم مقالات یاری نمودند سپاسگزاریم.



References

- Bivona TG, Philips MR: Ras pathway signaling on endomembranes. *Curr Opin Cell Biol* 2003; 15(2): 136-142
- Sawhney RS, Cookson MM, Sharma B, Hauser J, Brattain MG: Autocrine transforming growth factor alpha regulates cell adhesion by multiple signaling via specific phosphorylation sites of p70S6 kinase in colon cancer cells. *J Biol Chem* 2004; 5: (279) 4590-47379
- Snider WD, Zhou FQ, Zhong J, Markus A: Signaling the pathway to regeneration. *Neuron* 2002 Jul 3; 35(1): 13-16
- Kikuchi A: Tumor formation by genetic mutations in the components of the Wnt signaling pathway. *Cancer Sci* 2003; 94(3): 225-229
- Helt AM, Galloway DA: Mechanisms by which DNA tumor virus oncoproteins target the Rb family of pocket proteins. *Carcinogenesis* 2003; 24(2): 159-169
- Helt AM, Funk JO, Galloway DA: Inactivation of both the retinoblastoma tumor suppressor and p21 by the human papillomavirus type 16 E7 oncoprotein is necessary to inhibit cell cycle arrest in human epithelial cells. *J Virol* 2002; 76(20): 10559-10568
- Hassan M, Ghazlan H, bdel-Kader O: Activation of RB/E2F signaling pathway is required for the modulation of hepatitis C virus core protein-induced cell growth in liver and non-liver cells. *Cell Signal* 2004; 16(12): 1375-1385
- Ohtani N, Brennan P, Gaubatz S, Sanij E, Hertzog P, Wolvetang E, Ghysdael J, Rowe M, Hara E: Epstein-Barr virus LMP1 blocks p16INK4a-RB pathway by promoting nuclear export of E2F4/5. *J Cell Biol* 2003; 162(2): 173-183
- Safai B, Huang JL, Boeri E, Farid R, Raafat J, Schutzer P, Ahkami R, Franchini G: Prevalence of HTLV type I infection in Iran: a serological and genetic study. *AIDS Res Hum Retroviruses* 1996; 2(12): 1185-1190
- Gessain A, Mahieux R: [Epidemiology, origin and genetic diversity of HTLV-1 retrovirus and STLV-1 simian affiliated retrovirus]. *Bull Soc Pathol Exot* 2000; 93(3): 163-171
- Safai B, Huang JL, Boeri E, Farid R, Raafat J, Schutzer P, Ahkami R, Franchini G: Prevalence of HTLV type I infection in Iran: a serological and genetic study. *J Virol* 1999; 73(12): 10289-10295
- Azadmanesh K, Roohvand F, Amini S, Kazanji M: Detection, Cloning, Molecular Characterization and Phylogenetic Analyses of a New Primate T-Cell Lymphotropic Virus Type I in Olive Baboon. *J Iranian of Biotechnology* 2004
- Goren I, Tavor E, Honigman A: Gene regulation mediated by interaction between HTLV-1 promoter elements and transcription factors Tax and CREB. *Virology* 1999; 256(2): 303-312

14. Akagi T, Ono H, Nyunoya H, Shimotohno K: Characterization of peripheral blood T-lymphocytes transduced with HTLV-I Tax mutants with different trans-activating phenotypes. *Oncogene* 1997; 14(17): 2071-2078
15. Smith MR, Greene WC: Identification of HTLV-I tax trans-activator mutants exhibiting novel transcriptional phenotypes. *Genes Dev* 1990; 4(11): 1875-1885
16. Matsumoto K, Shibata H, Fujisawa JI, Inoue H, Hakura A, Tsukahara T, Fujii M: Human T-cell leukemia virus type 1 Tax protein transforms rat fibroblasts via two distinct pathways
17. Copeland KF, Haaksma AG, Derse D, Goudsmit J, Heeney JL: Cytochemical analysis of human T cell leukaemia virus I LTR-regulated beta-galactosidase gene expression using a novel integrated cell system. *J Virol Methods* 1993; 45(2): 161-167
18. Astier-Gin T, Portail JP, Lafond F, Guillemain B: Identification of HTLV-I- or HTLV-II-producing cells by cocultivation with BHK-21 cells stably transfected with a LTR-lacZ gene construct. *J Virol Methods* 1995; 51(1): 19-29
19. Okada M, Jeang KT: Differential requirements for activation of integrated and transiently transfected human T-cell leukemia virus type 1 long terminal repeat. *J Virol* 2002; 76(24): 12564-12573
20. Barmak K, Harhaj E, Grant C, Alefantis T, Wigdahl B: Human T cell leukemia virus type I-induced disease: pathways to cancer and neurodegeneration. *Virology* 2003; 308(1): 1-12
21. Pear WS, Nolan GP, Scott ML, Baltimore D: Production of high-titer helper-free retroviruses by transient transfection. *Proc Natl Acad Sci U S A* 1993; 90(18): 8392-8396
22. Ausubel FM: BRKRMDSJ. *Short Protocols in Molecular Biology*. New York: John Wiley, 1999
23. Sambrook JJ, Russel D: *Molecular cloning*. New York: Cold Spring Harbor Laboratory Press; 2001
24. Naylor LH: Reporter gene technology: the future looks bright. *Biochem Pharmacol* 1999; 58(5): 749-757.
25. Tavare JM, Fletcher LM, Welsh GI: Using green fluorescent protein to study intracellular signalling. *J Endocrinol* 2001; 170(2): 297-306
26. Basu C, Kausch AP, Chandlee JM: Use of beta-glucuronidase reporter gene for gene expression analysis in turfgrasses. *Biochem Biophys Res Commun* 2004; 320(1): 7-10
27. Ho KC, Lin PS: Safranin O counter-staining enhances the counting of beta-galactosidase-expressing cells. *Biotechniques* 1997; 23(4): 642
28. Nelson DL, Cox MM: *Lehninger Principles of biochemistry*. New York: Worth publishers; 2000
29. Eustice DC: FPC-PABRNRH. A sensitive method for the detection of beta-galactosidase in transfected mammalian cells. *Biotechniques* 1999; 11(6): 739-743
30. Sourisseau T, Le DY, Salbert G, Flamant F, Michel D: Eukaryotic conditional expression system. *Biotechniques* 1999; 27(1): 106-110
31. Karttunen J, Shastri N: Measurement of ligand-induced activation in single viable T cells using the lacZ reporter gene. *Proc Natl Acad Sci USA* 1991;v 88(9): 3972-3976
32. Grimm S: The art and design of genetic screens: mammalian culture cells. *Nat Rev Genet* 2004 Mar; 5(3): 179-189
33. Plant N: Strategies for using in vitro screens in drug metabolism. *Drug Discov Today* 2004; 9(7): 328-336

